

04; 10

© 1991 г.

**ТОКОВАЯ НЕЙТРАЛИЗАЦИЯ  
ВЫСОКОЭНЕРГЕТИЧНЫХ ПРОТОННЫХ СГУСТКОВ  
ПРИ ИХ ПРОХОЖДЕНИИ ЧЕРЕЗ ГАЗЫ  
РАЗЛИЧНОГО ДАВЛЕНИЯ**

*A. K. Березин, B. A. Киселев, A. F. Линник, I. H. Онищенко, V. B. Усков*

Экспериментально исследуется явление токовой нейтрализации протонных сгустков с энергией 5 МэВ в плазме, образованной самими сгустками при движении через нейтральный газ (водород, воздух) в диапазоне давлений  $P=10^{-5}-10^{-2}$  Тор. При этом наблюдается частичная токовая нейтрализация на коллекторе, измеряющем ток протонных сгустков. Показано, что степень токовой нейтрализации зависит от плотности образованной плазмы (давления нейтрального газа) и от наличия коллективного взаимодействия между пучком и образованной плазмой. Приведено объяснение полученных результатов.

Одним из интересных явлений, имеющих место при распространении пучков заряженных частиц через плазму или нейтральный газ, является возникновение плазменного тока, приводящего к нейтрализации тока пучка. Плазменный ток вызывается электрическим полем, возникающим при изменении азимутального магнитного поля на фронтах инжектируемого в плазму пучка заряженных частиц. Для сильноточных релятивистских электронных пучков эти явления были рассмотрены в работах [1-3]. В работах [4, 5] рассмотрен процесс нейтрализации обратным плазменным током интенсивных ионных пучков при их распространении в плазме.

Механизм токовой нейтрализации для протонных пучков с небольшими токами ( $I_b=10-50$  мА) и энергиями (10–100 кэВ) рассмотрен в работах [6, 7] и объясняется эффектами захвата плазменных электронов полями возбуждаемых волн.

В данной работе приведены экспериментальные результаты и теоретические оценки явлений токовой нейтрализации высокoenергетического модулированного протонного пучка с относительно небольшим током при его движении в плазме, образованной самим пучком в нейтральном газе, давление которого менялось в пределах от  $10^{-6}$  до  $10^{-2}$  Тор.

Источником протонов служил резонансный линейный ускоритель с ВЧ фокусировкой [8]. Энергия протонов  $W=5$  МэВ, ток пучка в импульсе  $I_b=30$  мА, длительность импульса  $\tau_i=20$  мкс, частота посылок  $0.2$  с $^{-1}$ . Каждый импульс состоял из  $3 \cdot 10^3$  протонных сгустков длиной  $l=20$  см и частотой следования (модуляции)  $\omega_m \approx 9 \cdot 10^{+8}$  с $^{-1}$ . Плотность протонов на оси пучка  $n_b \approx 10^7$  см $^{-3}$ , радиус пучка  $r_0=0.5$  см. Камера взаимодействия представляла собой стеклянную трубу диаметром 10 см и длиной 200 см.

Для диагностики пучка и плазмы использовались коллектор с разрешением по времени  $t \sim 1$  нс, сигнал с которого регистрировался осциллографом С7-19, магнитный анализатор для измерения энергетического спектра протонов пучка [9], пьезодатчик для регистрации импульса пучка и ВЧ резонатор для измерения плотности плазмы.

В качестве нейтрального газа использовались водород и воздух. Качественно результаты с использованием этих газов совпадают, поэтому дальней-

шее рассмотрение будет относиться к случаю заполнения камеры взаимодействия водородом.

Эксперименты показали, что во всем диапазоне давлений нейтрального газа ( $P=10^{-5}$ — $10^{-2}$  Тор) амплитуда сигнала импульса давления пучка, регистрируемого пьезодатчиком, оставалась постоянной (точность измерения импульса давления  $\pm 10\%$ ), что свидетельствует о сохранении количества протонов пучка, проходящего через газ. В то же время осциллограммы тока протонных сгустков, регистрируемые осциллографом, показывают изменение величины и форм тока в зависимости от давления нейтрального газа. На рис. 1, *a* показана осциллограмма протонных сгустков при давлении газа  $P \approx 2 \cdot 10^{-5}$  Тор (здесь и далее показаны сгустки из середины импульса тока протонного пучка).

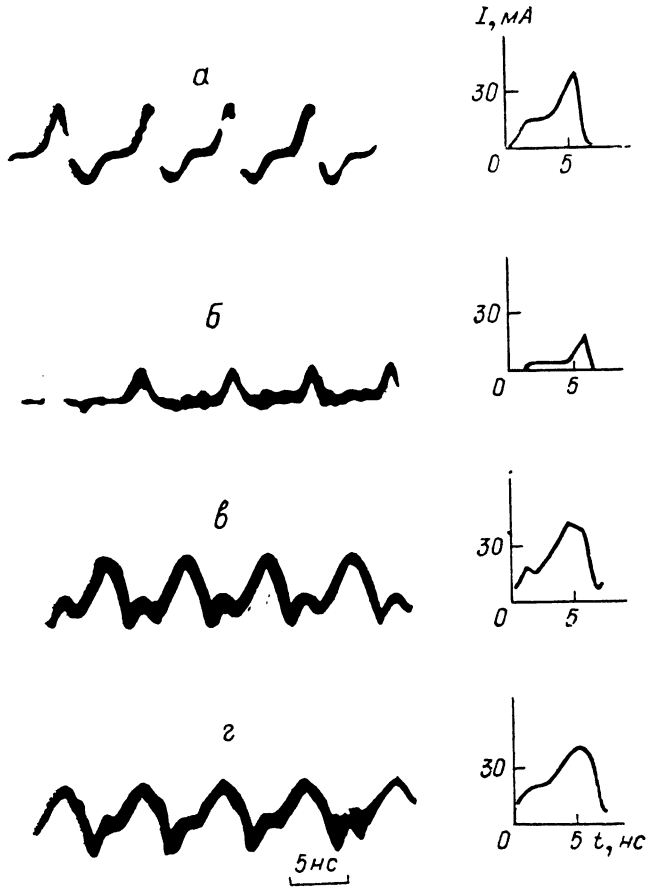


Рис. 1. Осциллограммы тока протонных сгустков при различных давлениях в камере взаимодействия.

$P$ , Тор: *a* —  $\sim 10^{-5}$ , *b* —  $\sim 10^{-4}$ , *c* —  $\sim 8 \cdot 10^{-4}$ , *d* —  $\sim 10^{-3}$  (справа показаны отдельные сгустки).

При повышении давления амплитуда и длительность тока сгустков уменьшались и достигали минимального значения при давлении, которое назовем критическим ( $P=P_{kp}=10^{-3}$  Тор) (рис. 1, *b*). При этом ускоренных атомов водорода обнаружено не было, что согласуется с малым сечением перезарядки при энергии протонов  $W \geq 10^6$  эВ [10]. В случае подачи на коллектор постоянного напряжения в диапазоне  $\pm 50$  В осциллограммы тока сгустков не изменились.

При повышении давления в камере взаимодействия выше критического наблюдалось увеличение тока сгустков и изменение их формы (рис. 1, *c*, *d*). Анализатор спектра протонного пучка при таких давлениях регистрировал расширение энергетического спектра протонов пучка (рис. 2).

Плотность плазмы, образуемой в камере взаимодействия протонным пучком, при давлении  $P \approx 10^{-5}$  Тор близка к плотности пучка (рис. 3), а время ее установления, измеренное ВЧ резонатором,  $\tau_{st} \approx 6-8$  мкс. При давлениях  $P \geq P_{kp}$

плотность плазмы более чем на порядок превышает плотность пучка, а время ее установления уменьшается по  $\tau_{\text{уст}} \approx 1$  мкс. При достижении критического давления ленгмюровская частота плазмы близка к частоте следования сгустков пучка ( $\omega_p \approx \omega_m$ , где  $\omega_p = (4\pi n_p e^2/m)^{1/2}$ ). При этом возбуждается пучково-плазменная неустойчивость, подобная неустойчивости на модулированном по плотности электронном пучке [11]. Развитие такой неустойчивости вызывает пучково-плазменный разряд, механизм которого совпадает с описанным в [12]. Об этом свидетельствуют аномально быстрый рост плотности плазмы, увеличение амплитуды сигнала, регистрируемого плавающим зондом, а также расширение энергетического спектра протонов пучка на выходе из камеры взаимодействия.

Оценка величины СВЧ поля, при котором начинается пучково-плазменный разряд, может быть получена из уравнения для скорости набора энергии пла-

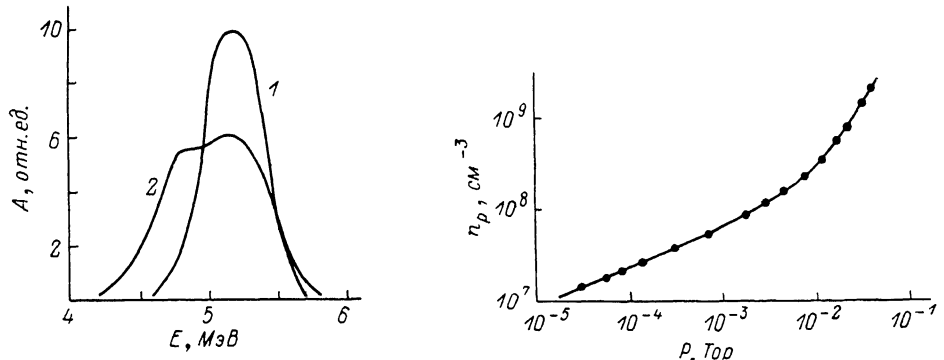


Рис. 2. Энергетические спектры протонов пучка при различных давлениях в камере взаимодействия.

$P, \text{ Torr}: 1 - \sim 10^{-6}-10^{-5}, 2 - 10^{-2} (I_b = 30 \text{ A})$ .

Рис. 3. Зависимость плотности плазмы от давления нейтрального газа в камере взаимодействия.

менными электронами в поле возбуждаемой волны для случая, когда  $v_e < \omega_p$  [12],

$$n_p \frac{d\varepsilon}{dT} = v_c \frac{E^2}{4\pi}, \quad (1)$$

где  $\varepsilon$  — средняя энергия электрона,  $v_c$  — частота упругих столкновений.

Полагая, что энергия электрона должна возрасти до энергии ионизации  $\varepsilon_i$  за время меньше обратного времени потерь энергии электрона  $\tau^{-1}$ , обусловленного прилипанием и диффузией электронов, получим выражение для пробного поля

$$E_{\text{пр}} = \frac{m\omega_p}{\tau v_c e^2} \varepsilon_i. \quad (2)$$

Для наших условий значение  $E_{\text{пр}} \approx 200 \text{ В/см}$ . Для захвата же плазменных электронов полем возбуждаемых волн необходимо, чтобы потенциал возбуждаемой волны был  $e\varphi_{\text{захв}} \approx mv^2/2$  [6, 7]. В нашем случае это дает напряженность поля  $E_{\text{захв}} \approx 700 \text{ В/см}$ . Такая напряженность поля не может быть достигнута по крайней мере до достижения критического давления. Это значит, что в нашем случае при давлении нейтрального газа от  $10^{-5}$  до  $6 \cdot 10^{-3}$  Тор механизм токовой нейтрализации, рассмотренный в [6, 7], неприменим и частичная токовая нейтрализация не может быть объяснена захватом плазменных электронов в потенциальные ямы волн, возбуждаемых пучком при его взаимодействии с плазмой.

Наблюдаемую частичную токовую нейтрализацию протонных сгустков, по нашему мнению, можно объяснить возникновением обратного плазменного тока, индуцируемого фронтами сгустков. Действительно, инъекция пучка заряженных частиц, состоящих из отдельных сгустков, в плазму сопровождается

изменением азимутального магнитного поля  $B_0$  и приводит к появлению на фронтах сгустков электрического поля  $E_z$ . Это индуцированное электрическое поле действует на электроны плазмы, вызывая ток, противоположный инжектируемому току. В этом случае полный ток  $I$  (ток, измеряемый коллектором) является суммой тока пучка  $I_b$  и плазменного тока  $I_p$ . Передний фронт протонного сгустка индуцирует ток, направление которого противоположно инжектируемому току (плазменные электроны двигаются в том же направлении, что и протоны пучка). Следовательно, полный ток будет уменьшаться. Поля же, индуцированные задним фронтом сгустка, должны вызывать плазменный ток в том же направлении, что и ток пучка. Поэтому плазменный ток, индуцируемый задним фронтом сгустка, регистрируясь коллектором не будет. Плазменный ток, индуцируемый передним фронтом сгустка, будет фиксироваться коллектором и приведет к изменению тока протонного сгустка.

Анализ осциллографм рис. 1 показывает, что при давлении нейтрального газа в камере взаимодействия  $P=10^{-5}$  Тор наблюдается незначительная токовая нейтрализация  $\eta = |I_p| / |I_b| = 0.2+0.3$  ( $\eta$  — степень токовой нейтрализации).

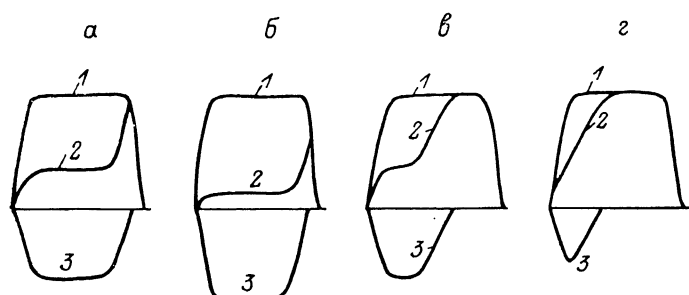


Рис. 4. Соотношения между током пучка  $I_b$  (1), плазменным током  $I_p$  (3) и полным током  $I$  (2) в зависимости от давления нейтрального газа в камере взаимодействия.

*a—g* — то же, что и на рис. 1.

При повышении давления, а значит, и плотности плазмы степень токовой нейтрализации увеличивается и достигает значения  $\eta=0.8$  при  $P \approx 10^{-3}$  Тор. Увеличение степени токовой нейтрализации объясняется уменьшением скин-слоя  $\lambda=c/\omega_p$  (специальные токопроводы для обратного тока отсутствуют) и увеличением числа плазменных электронов. Время затухания плазменного тока, определяемое выражением

$$\tau_3 \approx \frac{\omega_p^2 r_0^2}{c^2 v_e} [^3],$$

для  $P < 10^{-3}$  Тор  $\tau_3$  равно примерно длительности сгустка  $\tau_{\text{св}}$ . При этом эффективная частота столкновений плазменных электронов  $v_e < 5 \cdot 10^6$  с<sup>-1</sup>. Эта частота получена из оценки добротности резонатора с плазмой при измерении плотности плазмы [12].

Величина продольного плазменного тока, вызванного фронтами сгустков, при давлениях выше критического (когда длина свободного пробега электронов меньше длины системы) будет пропорциональна индуцируемому электрическому полю  $E_z \sim dI/dt$  и проводимости плазмы  $\sigma$ :  $j = E_z \sigma$ ,  $\sigma = (n_e e^2)/(m v_e)$ . Эффективная частота столкновений при развитии пучково-плазменной неустойчивости по нашим оценкам достигает величины  $v_e \approx 10^7$  с<sup>-1</sup>, это приводит к тому, что время затухания обратного тока становится меньше длительности сгустка и уменьшается величина обратного плазменного тока (рис. 1, *в*, *г*). Подобные явления исследовались и при инжекции электронных пучков в плазму [16, 17], но основное отличие наших экспериментов заключается в том, что длительность сгустков в нашем пучке  $\tau_{\text{св}} \leqslant 2\pi/\omega_p$ , а их длина меньше длины системы.

На рис. 4 показаны полный ток, регистрируемый коллектором, а также соотношения между током пучка и плазменным током при различных давлениях нейтрального газа в камере взаимодействия. Такие соотношения между током

пучка и плазменным током характерны именно для коллектора и не могут быть иллюстрацией нейтрализации тока в пространстве камеры взаимодействия.

Таким образом, при исследовании прохождения высоконергетичных протонных сгустков через нейтральный газ в диапазоне давлений  $P=10^{-6}-10^{-2}$  Тор были обнаружены следующие явления.

1. В диапазоне давлений от  $P=10^{-5}$  Тор и до критического давления ( $P_{kp} \approx 6 \cdot 50^{-3}$  Тор) наблюдается частичная токовая нейтрализация протонных сгустков, обусловленная возникновением обратного плазменного тока, индуцируемого фронтами сгустков пучка.

2. При давлении выше критического возбуждается пучково-плазменная неустойчивость, приводящая к развитию пучково-плазменного разряда, аномальному росту плотности плазмы и увеличению частоты столкновений, что в свою очередь приводит к уменьшению обратного тока, времени его существования и в конечном итоге к уменьшению степени нейтрализации тока пучка.

Авторы благодарны Б. И. Иванову, Ю. И. Блиоху и В. Н. Белану за помощь при проведении экспериментов и полезные обсуждения полученных результатов.

### Список литературы

- [1] Hammer D. A., Rostoker N. // Phys. Fluids. 1970. Vol. 13. N 7. P. 1831—1850.
- [2] Cox J. L., Bennet W. N. // Phys. Fluids. 1970. Vol. 13. N 1. P. 182—192.
- [3] Рухадзе А. А., Рухлин В. Т. // ЖЭТФ. 1971. Т. 61. Вып. 1. С. 177—189.
- [4] Sudan R. N. // Phys. Rev. Lett. 1976. Vol. 37. N 24. P. 1613—1615.
- [5] Swegle J. A., Slutz S. A. // J. Appl. Phys. 1986. Vol. 60. N 10. P. 3444—3459.
- [6] Габович М. Д., Солошенко И. А., Симоненко Л. С. // ЖЭТФ. 1971. Т. 62. Вып. 4. С. 1369—1375.
- [7] Габович М. Д., Кацубо Л. П., Солошенко И. А. // Физика плазмы. 1978. Т. 4. № 6. С. 1370—1376.
- [8] Тепляков В. А. // Исследование ускорителя с СВЧ фокусировкой. М.: Наука, 1978. Т. 1. С. 288—296.
- [9] Белан В. Н., Болотин Л. И., Киселев В. А. и др. // ПТЭ. 1988. № 6. С. 31—33.
- [10] Olson C. L. // Phys. Rev. A. 1975. Vol. 11. N 1. P. 288—292.
- [11] Березин А. К., Файнберг Я. Б. и др. // ЖЭТФ. 1972. Т. 63. Вып. 3. С. 861—873.
- [12] Лебедев П. М., Онищенко И. Н., Ткач Ю. В. и др. // Физика плазмы. 1976. Т. 2. № 3. С. 407—413.
- [13] Росинский С. Е., Ростомян Э. В., Рухадзе А. А., Рухлин В. Г. // ЖЭТФ. 1974. Т. 66. Вып. 4. С. 1350—1357.
- [14] Росинский С. Е., Ростомян Э. В., Рухлин В. Г. // Физика плазмы. 1976. Т. 2. № 1. С. 49—56.

Харьковский физико-технический  
институт АН УССР

Поступило в Редакцию

28 июля 1989 г.

В окончательной редакции  
22 марта 1990 г.